

Рис. 3

разложения, происходящего в химпике. Критический диаметр при этом должен уменьшаться с ростом  $\rho_0$  в соответствии с уменьшением ширины зоны  $a$  (см. табл. 1). Даваемое этой оценкой значение  $\rho_0 \approx 1,7 \text{ г/см}^3$  есть верхняя граница действительных предельных плотностей, так как при малых диаметрах медленное энерговыделение во второй стадии реакции не способно конкурировать с боковым разлетом при значительно меньших плотностях, поэтому требование обращения в ноль скорости вторичной реакции является слишком строгим.

Авторы приносят благодарность Л. В. Дубнову за содействие в проведении работы.

ИФЗ АН СССР

Поступила в редакцию  
9/I 1975

#### ЛИТЕРАТУРА

1. А. Ф. Беляев. — В сб.: Вопросы теории ВВ. Вып. 1. М., Изд-во АН СССР, 1947.
2. А. Н. Дремин, К. К. Шведов, В. А. Веретеников. — В сб.: Взрывное дело, № 52/9. М., 1963.
3. А. Н. Дремин, Л. В. Дубнов и др. ФГПРПИ, 1971, 1.
4. А. Н. Дремин и др. ФГПРПИ, 1971, 4.
5. Л. В. Дубнов, Э. В. Постников. — В сб.: Взрывное дело, № 52/9. М., 1963.
6. П. Ф. Покиль, В. М. Мальцев, В. М. Зайцев. Методы исследования процессов горения и детонации. М., «Наука», 1969.
7. Л. И. Альбов, В. А. Васильев. Труды МФТИ, серия «Аэромеханика. Процессы управления». М., 1974.
8. А. Н. Дремин, С. Д. Савров и др. Детонационные волны в конденсированных средах. М., «Наука», 1970.

УДК 534.222.2:662.398

#### О КРИТИЧЕСКИХ ДИАМЕТРАХ ДЕТОНАЦИИ В В С ИНЕРТНЫМИ ДОБАВКАМИ

Г. В. Димза

Исследовались критические диаметры детонации взрывчатых композиций на основе гексогена, октогена и тротила с разным содержанием в них твердых инертных наполнителей и воздуха. Оценивалось влияние на развитие детонации плотности и пористости зарядов. Последнее связывалось с возможностью поджигания частиц ВВ газообразными продуктами реакции [1] в процессе распространения детонации по заряду. Ранее [2] отмечалось воздействие горячих газов при возбуждении детонации передачей через воздушный промежуток. Было показано, что нанесение слоя флегматизатора на зерна ВВ или помещение слоя воды на торец пассивного заряда приводит к существенному уменьшению расстояния передачи детонации. Можно было предположить, что механизм возбуждения детонации, в известной мере аналогичный предложенному А. Я. Апиным механизму взрывного горения [1], может наблюдаться и у исследуемых в настоящей работе взрывчатых систем.

Для изучения критических диаметров детонации применялись порошки взрывчатых веществ со средним размером частиц около 0,1 мм.

Содержание ВВ в единице объема заряда во всех случаях сохранялось постоянным и составляло 1 г/см<sup>3</sup>. Инертный наполнитель вводился в свободное пространство, его количество варьировалось от нескольких процентов до почти полного заполнения свободного объема в заряде. В соответствии с изменением количества наполнителя менялись плотность и пористость исследуемых систем. Это позволило при постоянном содержании ВВ в единице объема получать заряды различной структуры от насыпных порошков до предельно плотных систем.

В качестве инертных наполнителей были выбраны парафин, тальк, алюминиевая пудра и мелкодисперсный (размер частиц  $\sim 1$  мкм) порошок полиметилметакрилата.

Предполагалось, что парафин, нанесенный на зерна ВВ из бензинового раствора, с последующим удалением растворителя, покроет всю их поверхность и будет препятствовать поджиганию зерен горячими газами. Хорошо прессующийся тальк позволяет получить системы различной плотности, пористости и газопроницаемости, но не обеспечивает полного покрытия поверхности зерен ВВ. При одинаковом объемном содержании инертной добавки заряды ВВ с полиметилметакрилатом, в силу малого размера частиц последнего, должны обладать значительно меньшей газовой проницаемостью, хотя, как и тальк, полиметилметакрилат не обеспечит бронировки поверхности частиц ВВ. Кроме того, плотность талька в  $\sim 2,5$  раза выше, чем у парафина и полиметилметакрилата и, следовательно, при одинаковом объеме вводимой добавки плотности зарядов должны заметно различаться. Набор свойств добавок позволял в более чистом виде следить за влиянием таких факторов, как плотность, пористость и газопроницаемость на критические диаметры и критические скорости детонации исследуемых смесей.

Заряды из приготовленных смесей патронировались в целлофановые оболочки и имели длину не менее десяти диаметров. Детонацию в зарядах и ее скорость записывали прибором СФР-2М.

Характеристики зарядов и полученные результаты приведены в таблице. На рис. 1, а показано, как меняются критические диаметры детонации тротила (кривая 1), октогена, (2), гексогена (3) в зависимости от содержания в смесях парафина (по оси абсцисс вместо содержания инертной добавки отложена пористость исследуемых зарядов). На рис. 1, б аналогичные зависимости даны для ВВ с порошкообразными добавками; кривая 1 — критические диаметры тротила с полиметилметакрилатом, 2 — тротила с тальком, 3 — гексогена с тальком. Точки, отмеченные значком +, соответствуют смесям тротила с алюминием — дополнительно исследованной системе, причем плотность алюминия равна плотности талька и частицы близки по размерам. Эти точки практически полностью лежат на кривой тротила с тальком. Из-за плохой прессуемости смесей октогена с тальком для него не удалось снять всю зависимость, а только отдельные точки, которые лежат вблизи кривой для гексогена с тальком (см. таблицу). Значения критических диаметров при пористости меньше 20% для гексогена с тальком определить не удалось. Однако было найдено, что они меньше 3,3 мм, поскольку по зарядам этого диаметра детонация проходила (точки на рис. 1, б, отмеченные значком  $\times$ ).

Как следует из приведенных на рис. 1 данных, характер изменения  $d_{kp}$  с ростом содержания инертной добавки меняется в зависимости от

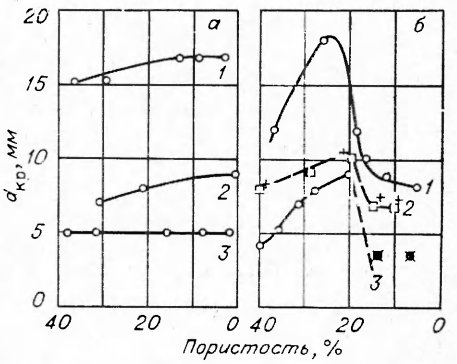


Рис. 1.

Зависимости  $d_{kp}$  и  $D_{kp}$  от содержания инертной добавки в смесях с ВВ

| Состав смеси, %                     |                  |                                     |                      | Состав смеси, % |                |                  |                                     |               |                |
|-------------------------------------|------------------|-------------------------------------|----------------------|-----------------|----------------|------------------|-------------------------------------|---------------|----------------|
| ВВ                                  | инертная добавка | Плотность заряда, г/см <sup>3</sup> | Пористость заряда, % | Состав смеси, % | ВВ             | инертная добавка | Плотность заряда, г/см <sup>3</sup> |               |                |
|                                     |                  |                                     |                      | $d_{kp}$ , мм   | $D_{kp}$ , м/с |                  |                                     | $d_{kp}$ , мм | $D_{kp}$ , м/с |
| <i>Гексоген — тальк</i>             |                  |                                     |                      |                 |                |                  |                                     |               |                |
| 90                                  | 10               | 1,10                                | 40,4                 | 4,0             | 3,0            | 5050             | 90                                  | 10            | 1,1            |
| 80                                  | 20               | 1,25                                | 35,2                 | 5,0             | 4,0            | 5100             | 75                                  | 25            | 1,33           |
| 75                                  | 25               | 1,33                                | 32,2                 | 7,0             | 6,0            | 5100             | 70                                  | 30            | 1,43           |
| 70                                  | 30               | 1,43                                | 28,6                 | 8,0             | 7,0            | 5070             | 65                                  | 35            | 1,54           |
| 60                                  | 40               | 1,66                                | 20,0                 | 9,0             | 8,0            | 5900             | 60                                  | 40            | 1,66           |
| 55                                  | 45               | 1,80                                | 14,5                 | 3,3             | —              | —                | 55                                  | 45            | 1,80           |
| 50                                  | 50               | 2,0                                 | 7,5                  | 3,3             | —              | —                | 5                                   | 45            | 10,0           |
| <i>Тротил — тальк</i>               |                  |                                     |                      |                 |                |                  |                                     |               |                |
| 90                                  | 10               | 1,1                                 | 40,0                 | 8,0             | 7,0            | 4100             | 90                                  | 10            | 1,1            |
| 80                                  | 25               | 1,33                                | 28,0                 | 9,0             | 8,0            | 4100             | 75                                  | 25            | 1,33           |
| 75                                  | 30               | 1,43                                | 24,0                 | 9,0             | 8,0            | 4000             | 70                                  | 30            | 1,43           |
| 70                                  | 35               | 1,54                                | 20,0                 | 10,0            | 9,0            | 4450             | 65                                  | 35            | 1,54           |
| 60                                  | 40               | 1,66                                | 15,0                 | 7,0             | 6,0            | 4550             | 60                                  | 40            | 1,66           |
| 55                                  | 45               | 1,80                                | 10,0                 | 7,0             | 6,0            | 4970             | 55                                  | 45            | 1,80           |
| <i>Гексоген — парафин</i>           |                  |                                     |                      |                 |                |                  |                                     |               |                |
| 95                                  | 5                | 1,05                                | 38,7                 | 5,0             | 4,0            | 5250             | 90                                  | 10            | 1,1            |
| 90                                  | 10               | 1,10                                | 32,3                 | 5,0             | 4,0            | 5250             | 65                                  | 35            | 1,54           |
| 80                                  | 20               | 1,25                                | 16,7                 | 5,0             | 3,8            | 6200             | 60                                  | 40            | 1,66           |
| 76                                  | 24               | 1,32                                | 9,4                  | 5,0             | 3,8            | 6730             | 55                                  | 45            | 1,80           |
| 72                                  | 28               | 1,39                                | 1,2                  | 5,0             | 3,8            | 7300             | 70                                  | 30            | 1,43           |
| <i>Тротил — алюминий (АПП-3)</i>    |                  |                                     |                      |                 |                |                  |                                     |               |                |
| 95                                  | 5                | 1,05                                | 36,0                 | 12,0            | 10,0           | 4070             | 95                                  | 5             | 1,05           |
| 90                                  | 10               | 1,1                                 | 26,0                 | 18,0            | 15,0           | 4880             | 85                                  | 15            | 1,16           |
| 80                                  | 20               | 1,25                                | 19,0                 | 12,0            | 10,0           | 4800             | 80                                  | 20            | 1,25           |
| 75                                  | 22               | 1,28                                | 17,0                 | 10,0            | 9,0            | —                | 78                                  | 22            | 1,28           |
| 70                                  | 30               | 1,42                                | 0                    | 9,0             | 8,0            | 4880             | 75                                  | 25            | 1,33           |
| <i>Октоген — тальк</i>              |                  |                                     |                      |                 |                |                  |                                     |               |                |
| 70                                  | 30               | 1,43                                | 31,1                 | 8,0             | 7,0            | 5090             | 80                                  | 20            | 1,25           |
| 58                                  | 42               | 1,72                                | 20,0                 | 7,0             | 6,0            | 6170             | 78                                  | 22            | 1,28           |
| 50                                  | 50               | 2,05                                | 3,8                  | 3,8             | —              | 6300             | 75                                  | 25            | 1,33           |
|                                     |                  |                                     |                      |                 |                |                  | 70                                  | 30            | 1,43           |
| <i>Октоген — парафин</i>            |                  |                                     |                      |                 |                |                  |                                     |               |                |
| 90                                  | 10               | 1,10                                | 36,0                 | 7,0             | 6,0            | 5200             | 90                                  | 10            | 1,1            |
| 78                                  | 22               | 1,28                                | 21,0                 | 8,0             | 7,0            | 5850             | 80                                  | 20            | 1,25           |
| 70                                  | 30               | 1,42                                | 0                    | 9,0             | 8,0            | 6800             | 75                                  | 25            | 1,33           |
| Примечание. Размер зерна ВВ 0,1 мм. |                  |                                     |                      |                 |                |                  |                                     |               |                |

того, вводится ли инертная добавка в виде порошка или является флегматизатором, бронирующим зерна ВВ (парафин). В отличие от смесей с парафином, где имеет место слабая (плавная) зависимость критических диаметров детонации от содержания инертного наполнителя, в случае порошкообразных добавок она приобретает сложный характер. Возрастание  $d_{kp}$  с увеличением содержания порошкообразной добавки до некоторого максимального значения, по-видимому, связано с участием в поджигании зерен ВВ газообразных продуктов реакции. Поскольку рост содержания инертной добавки и, как следствие, уменьшение проницаемости ухудшает условия проникновения горячих продуктов реакции к частицам ВВ, то изменение структуры заряда приводит к увеличению времени превращения ВВ и возрастанию критического диаметра детонации. Сказанное выше объясняет заметно большие величины критических диаметров детонации смесей тротила с полиметилметакрилатом (см. рис. 1, б кривая 1), по сравнению со смесями тротила с тальком и алюминием (кривая 2), поскольку частицы полиметилметакрилата значительно меньше чем талька и, следовательно, газопроницаемость смеси ниже.

Резкое уменьшение критического диаметра зарядов с увеличением содержания инертной добавки в районе 20%-ной пористости, имеющее место в случае всех порошкообразных добавок и для всех исследованных ВВ, по-видимому, означает смену механизма поджигания зерен. Логично предположить, что плавность и слабое изменение критических диаметров детонации с увеличением содержания парафина (см. рис. 1, а) указывают на то, что механизм развития реакции во всем интервале плотностей зарядов остается неизменным.

С увеличением степени заполнения свободного пространства в заряде инертным наполнителем меняются и критические скорости детонации систем. На рис. 2 изображены зависимости предельных  $D_{\text{п}}$  (кривая 1) и критических  $D_{\text{кр}}$  (кривая 2) скоростей детонации для смесей гексогена с тальком. Видно, что при низких содержаниях талька (пористость смесей более 20%) скорости детонации лежат на постоянном уровне и разница между  $D_{\text{кр}}$  и  $D_{\text{п}}$  составляет 900—1000 м/с. Постоянный уровень значений  $D_{\text{кр}}$  (рис. 2, 2) совпадает с участком возрастания  $d_{\text{кр}}$  детонации (см. рис. 1, б). Следует обратить внимание на точку, которая находится на верхнем конце кривой 2 (рис. 2) и соответствует 20%-ной пористости, где  $D_{\text{кр}}$  смеси (гексоген/тальк 60/40) почти достигает уровня ее предельного значения. По-видимому, в этой точке происходит смена механизмов возбуждения детонации. При дальнейшем увеличении содержания инертной добавки критические диаметры детонации резко снижаются. Отметим, что факт возрастания  $D_{\text{кр}}$ , когда пористость ВВ с инертными добавками достигала ~20%, наблюдался ранее [3] и объяснялся тем, что в определенных условиях к горению зерна с поверхности добавляется еще и реакция разложения в очагах (микропоры и другие неоднородности в заводских зернах ВВ). Можно сделать предположение, что в указанной точке давление в детонационной волне в критических условиях достигает того значения, когда оно может вызвать реакцию в очагах внутри зерна и соответственно смену характера возбуждения реакции — поджигание горячими газами уступает ведущее место действию давления и сжатия вещества в детонационной волне.

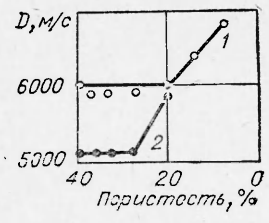


Рис. 2.

ИХФ АН СССР

Поступила в редакцию  
11/II 1975

#### ЛИТЕРАТУРА

1. А. Я. Апин. Докл. АН СССР, 1939, 24, 992; 1945, 50, 285.
2. А. Я. Апин, А. Н. Афанасенков, Г. В. Димза. — В сб.: Взрывное дело, № 75/32, М., «Недра», 1975.
3. Г. В. Димза. ФГВ, 1972, 8, 2.

УДК 662.3

#### ДЕТОНАЦИОННАЯ СПОСОБНОСТЬ ПЕРХЛОРАТНЫХ ВВ

Л. Н. Акимова, Л. Н. Стесик

Большинство неорганических окислителей — слабые взрывчатые вещества (ВВ) с малым тепловыделением. К таким окислителям относятся, например, нитрат и перхлорат аммония (НА, ПХА). Энергия смесей этих окислителей с горючей добавкой (невзрывчатой) превышает энергию нитрата и перхлората аммония в 3—4 раза. Это означает, что почти вся энергия в этих смесях выделяется за счет взаимодействия продуктов разложения окислителя с горючим. Это обстоятельство делает подобные смеси удобным объектом исследования. Хотя реакции взаимодействия более существенны при больших диаметрах заряда, не вызывает сомнения тот факт, что эти реакции осуществляются и